

154
117

АКАДЕМИЯ НАУК СССР

АСТРОНОМИЧЕСКИЙ ЖУРНАЛ

Том 67

(ОТДЕЛЬНЫЙ ОТТИСК)

МОСКВА · 1990

УДК 524.35-423

© 1990 г.

ТРИФОНОВ А. П., ВЕТРОВ С. В.

ОЦЕНКА ПАРАМЕТРОВ СИГНАЛА В ГРАВИТАЦИОННО-ВОЛНОВОМ ЭКСПЕРИМЕНТЕ

Установлено, что алгоритм оценки параметров всплеска гравитационного излучения по методу максимального правдоподобия не требует для своей реализации дополнительной априорной информации, и его применение не приводит к существенному увеличению объема машинных вычислений по сравнению с методом наименьших квадратов. Показано, что в общем случае применение метода максимального правдоподобия позволяет заметно повысить точность оценки параметров гравитационного всплеска, что весьма важно для перспективы гравитационно-волнового эксперимента, а также в приложении к другим тонким экспериментам с пробными телами.

ESTIMATION OF THE PARAMETERS OF THE SIGNAL IN THE GRAVITATION-WAVE EXPERIMENT, by Trifonov A. P., Vetrov S. V.— It has been established that algorithm of parameters estimation of gravitation disturbing radiation according to the maximum likelihood method does not require for its realization additional a priori information and its application does not lead to a significant increase of the volume of computer calculations in comparison with the minimum square method. It is shown that in a general case the application of maximum likelihood method allows us to increase the accuracy of estimation of gravitation disturbing parameters, that is very important for the perspective of gravitation-wave experiment and also for the application to some other experiments with probe bodies.

1. Введение

Для исследования возможностей гравитационно-волновой астрономии в [1, 2] предложена двухэтапная адаптивная процедура восстановления формы и оценки параметров импульса гравитационного воздействия на веберовскую антенну. На первом этапе отыскивалось решение обратной задачи восстановления формы импульса в виде аппроксимирующей функции с неизвестными параметрами. Затем на втором этапе определялись оценки неизвестных параметров аппроксимирующей функции по методу наименьших квадратов (МНК). Для анализа эффективности предложенной процедуры восстановления в [1] был выполнен численный эксперимент, в котором реакция гравитационной антенны на импульс гравитационного излучения моделировалась на ЭВМ с помощью основных уравнений. Результаты численного эксперимента позволяют на полукачественном уровне показать возможность восстановления формы и параметров импульсных сигналов относительно простой структуры. Однако численный эксперимент, отвечающий выбранным авторами [1] параметрам гравитационной антенны с большим количеством ограничений, позволяет получить лишь частные результаты. В связи с этим представляет интерес определение точности оценок параметров по МНК аналитическими методами.

Известно [3, 4], что оценка по МНК является оптимальной при наблюдении сигнала на фоне аддитивного гауссовского белого шума. В [1, 2] показано, что на выходе гравитационной антенны с релаксационной ре-

гистрирующей цепью наряду с белым шумом имеет место аддитивный коррелированный шум. Наличие коррелированной компоненты шума в общем случае снижает эффективность оценки по МНК. При характерном для гравитационно-волнового эксперимента отсутствии априорной информации о параметрах гравитационного импульса для их оценки может быть использован метод максимального правдоподобия (ММП) [3, 4]. Этот метод позволяет учесть наличие коррелированной компоненты шума на выходе гравитационной антенны и не требует для своей реализации дополнительной априорной информации о гравитационном импульсе по сравнению с МНК.

Цель данной работы — анализ точности оценок параметров гравитационного импульсного воздействия на веберовскую antennу по МНК и исследование возможности повышения точности оценок в результате применения ММП на втором этапе процедуры восстановления, предложенной в [1, 2].

На основе методики, развитой в [3], получены общие выражения для характеристик оценок параметров гравитационного импульса по МНК. Выполнен синтез алгоритма оценки по ММП. Показано, что его реализация не требует значительного увеличения объема машинных вычислений по сравнению с МНК. Установлены условия, при которых применение ММП вместо МНК позволяет существенно повысить точность оценок параметров гравитационного импульса. В частности, применение ММП обеспечивает более высокую точность оценки, когда из-за отсутствия достаточной априорной информации не удается обеспечить совпадение основной части спектра сигнала и полосы пропускания антенны.

2. Точность оценки по методу наименьших квадратов

Аналогично [1, 2] рассмотрим простейший вариант гравитационной антенны, состоящей из гравитационного детектора с непараметрической регистрирующей цепью (антенна веберовского типа). Напряжение на выходе такой антенны имеет вид [1]

$$U(t) = s(t, I_0) + \xi(t) + E_{fl}(t). \quad (1)$$

Здесь

$$s(t, I_0) = \int_0^t K_s(t-\tau) f(\tau, I_0) d\tau \quad (2)$$

— сигнальный отклик гравитационной антенны на внешнее воздействие $f(t, I_0)$, эквивалентное гравитационному всплеску, $I_0 = \{l_{01}, l_{02}, \dots, l_{0n}\}$ — n -мерный вектор истинных значений неизвестных параметров, подлежащих оценке;

$$\xi(t) = \int_0^t K_N(t-\tau) E_{fl}(\tau) d\tau \quad (3)$$

— гауссовский коррелированный шум, возникающий в результате прохождения теплового флуктуационного шума $E_{fl}(t)$ через избирательные элементы гравитационной антенны. Тепловой шум $E_{fl}(t)$ обусловлен флуктуациями в диссипативных элементах регистрирующей цепи гравитационной антенны. В дальнейшем, в соответствии с [5, 6], будем предполагать, что

в пределах полосы пропускания антенны $E_{fl}(t)$ является центрированным гауссовским белым шумом с односторонней спектральной плотностью N_0 .

Импульсные переходные функции $K_s(t)$ и $K_N(t)$ в (2) и (3), а также численные значения параметров, характеризующие гравитационную антенну, определены в [1] и имеют вид

$$K_s(t) = \exp(-a't) (A \sin \omega_0 t - B \cos \omega_0 t) + B \exp(-b't); \quad (4)$$

$$K_N(t) = \exp(-a't) [\theta(Q-1) \cos \omega_0 t + (\theta/\omega_0)(Q(a'-b') + a'+b') \sin \omega_0 t] - \theta Q \exp(-b't); \quad (5)$$

$$A = \frac{E_0 \omega_\mu ((a')^2 + \omega_0^2 - a'b')}{\omega_0 (\omega_0^2 + (b' - a')^2)}; \quad B = \frac{E_0 \omega_\mu b'}{\omega_0^2 + (b' - a')^2};$$

$$Q = \frac{(b')^2 + \theta^2 - 2\omega_0^2 \lambda}{\omega_0^2 + (b' - a')^2}.$$

Причем

$$a' = 15 \text{ c}^{-1}, b' = 2470 \text{ c}^{-1}, \theta = 2500 \text{ c}^{-1}, \omega_\mu = 600 \text{ c}^{-1},$$

$$\omega_0 = 534 \text{ c}^{-1}, E_0 = 44 \text{ В}, \lambda = 0,11. \quad (6)$$

Все обозначения параметров гравитационной антенны соответствуют [1].

Предположим, что момент начала наблюдения t' аддитивной смеси сигнала и шума на выходе гравитационной антенны $\tilde{U}(t)$ (1) выбирается таким образом, что $t' > \tau^*$, где $\tau^* = (a')^{-1} \approx 0,07$ с – время релаксации гравитационной антенны. Тогда коррелированная компонента шума $\xi(t)$ (3) на выходе гравитационной антенны является стационарным гауссовским центрированным случайным процессом. Кроме того, в соответствии с [1] будем считать, что всплеск гравитационного излучения локализован во времени в пределах интервала наблюдения $[t', T]$: $f(t', \mathbf{l}_0) = f(T, \mathbf{l}_0) = 0$ и $f(t, \mathbf{l}_0)$ является достаточно гладкой функцией с необходимым количеством производных.

Корреляционная функция шума $\xi(t)$, исходя из (3) и (5), может быть записана [7] как

$$K_\xi(t_1, t_2) = M[\xi(t_1)\xi(t_2)] \approx \sigma_\xi^2 \exp(-a'|t_1 - t_2|) \times$$

$$\times [\cos \omega_0(t_1 - t_2) + (a'/\omega_0) \sin \omega_0|t_1 - t_2|]; \quad (7)$$

где $\sigma_\xi^2 = N_0 q^4 / 8a' \omega_0^2$; $q^4 = 0^2(b')^2(Q-1)^2$. При определении корреляционной функции (7) учитывалось, что в соответствии с характерными численными значениями параметров гравитационной антенны (6) $a' \ll b'$ и $a' \ll \omega_0$. В тех же предположениях шумы $E_{fl}(t)$ и $\xi(t)$ на выходе гравитационной антенны оказываются приближенно некоррелированными.

Перейдем к определению характеристик оценки компонент вектора неизвестных параметров \mathbf{l} всплеска гравитационного излучения $f(t, \mathbf{l})$ при использовании на втором этапе процедуры восстановления МНК [1, 2]. Оценка $\tilde{\mathbf{l}}$, осуществляемая по МНК, определяется как

$$\tilde{\mathbf{l}} = \arg \inf_{\mathbf{l} \in \mathbf{E}_n} L_\Delta(\mathbf{l}), \quad (8)$$

где

$$L_\Delta(\mathbf{l}) = \int_{t'}^T [\tilde{U}(t) - s(t, \mathbf{l})]^2 dt \quad (9)$$

и E_n — область n -мерного евклидова пространства, определяющая возможные значения компонент вектора \mathbf{l} .

В [1, 2] для численной реализации процедуры восстановления формы всплеска гравитационного излучения применялось дискретное преобразование Фурье (ДПФ) от наблюдаемых данных $\tilde{U}(t)$ на выходе гравитационной антенны. Используя аналогично [1, 2] ДПФ, получаем, что второй этап процедуры восстановления по МНК (8), (9) (оценивание параметров всплеска) эквивалентен минимизации по \mathbf{l} функционала

$$L_{\Delta\omega}(\mathbf{l}) = \sum_{i=1}^N |\tilde{U}(\omega_i) - K_s(\omega_i) f(\omega_i, \mathbf{l})|^2, \quad (10)$$

где $\tilde{U}(\omega_i)$, $K_s(\omega_i)$ и $f(\omega_i, \mathbf{l})$ — ДПФ от реализации наблюдаемых данных $\tilde{U}(t)$ (1), импульсной переходной характеристики антенны $K_s(t)$ (4) и всплеска гравитационного излучения $f(t, \mathbf{l})$ соответственно; $i=1, N$, N — число отсчетов ДПФ.

Для определения характеристик оценки $\tilde{\mathbf{l}}$ по МНК (8) член функционала (9), зависящий от оцениваемого параметра \mathbf{l} , представим в виде

$$M_{\Delta}(\mathbf{l}) = S_{\Delta}(\mathbf{l}) + N_{\Delta}(\mathbf{l}), \quad (11)$$

где

$$S_{\Delta}(\mathbf{l}) = \frac{2}{N_0} \int_{t'}^T s(t, \mathbf{l}_0) s(t, \mathbf{l}) dt - \frac{1}{N_0} \int_{t'}^T s^2(t, \mathbf{l}) dt \quad (12)$$

— сигнальная составляющая и

$$N_{\Delta}(\mathbf{l}) = \frac{2}{N_0} \int_{t'}^T (\xi(t) + E_{fl}(t)) s(t, \mathbf{l}) dt \quad (13)$$

— шумовая составляющая, которая является реализацией гауссовского случайного процесса. При этом с учетом (8) и (11) оценка $\tilde{\mathbf{l}}$ будет определяться как

$$\tilde{\mathbf{l}} = \arg \sup_{\mathbf{l} \in E_n} M_{\Delta}(\mathbf{l}).$$

Используя методику [3, 8] и ограничиваясь первым приближением, получаем, что оценка $\tilde{\mathbf{l}}$ несмещенная и обладает корреляционной матрицей

$$\mathbf{K}_{\Delta} = \|M[(\tilde{\mathbf{l}}_i - l_{0i})(\tilde{\mathbf{l}}_k - l_{0k})]\| = \Psi^{-1} \mathbf{N} \Psi^{-1}, \quad (14)$$

где

$$\begin{aligned} \Psi &= \left\| - \left[\frac{\partial^2 S_{\Delta}(\mathbf{l})}{\partial l_i \partial l_k} \right]_{\mathbf{l}_0} \right\|; \quad \mathbf{N} = \left\| \left[\frac{\partial^2 S_N(\mathbf{l}_1, \mathbf{l}_2)}{\partial l_{1i} \partial l_{2k}} \right]_{\mathbf{l}_0} \right\|; \\ S_N(\mathbf{l}_1, \mathbf{l}_2) &= M[N_{\Delta}(\mathbf{l}_1) N_{\Delta}(\mathbf{l}_2)] \simeq \frac{2}{N_0} \int_{t'}^T s(t, \mathbf{l}_1) s(t, \mathbf{l}_2) dt + \\ &+ \frac{4}{N_0^2} \iint_{t'}^T K_{\xi}(t_1, t_2) s(t_1, \mathbf{l}_1) s(t_2, \mathbf{l}_2) dt_1 dt_2 \end{aligned} \quad (15)$$

— корреляционная функция шумовой составляющей (13), $i, k = \overline{1, n}$.

Отношение сигнал/шум по мощности на выходе устройства, реализующего оценку по МНК, может быть записано в виде

$$\rho^2 = S_{\Delta}^2(\mathbf{l}_0) / M [N_{\Delta}^2(\mathbf{l}_0)] = S_{\Delta}^2(\mathbf{l}_0) / S_N(\mathbf{l}_0, \mathbf{l}_0). \quad (16)$$

Иногда более удобным для практических расчетов оказывается спектральное представление (14) и (16), при этом

$$\Psi = \left\| \frac{1}{\pi N_0} \left[\int_{-\infty}^{\infty} |K_s(\omega)|^2 \frac{\partial f(\omega, \mathbf{l})}{\partial l_i} \frac{\partial f^*(\omega, \mathbf{l})}{\partial l_k} d\omega \right]_{\mathbf{l}_0} \right\|;$$

$$N = \left\| \frac{1}{\pi N_0} \left[\int_{-\infty}^{\infty} |K_s(\omega)|^2 (1 + |K_N(\omega)|^2) \frac{\partial f(\omega, \mathbf{l})}{\partial l_i} \frac{\partial f^*(\omega, \mathbf{l})}{\partial l_k} d\omega \right]_{\mathbf{l}_0} \right\|,$$

где $K_N(\omega)$ — преобразование Фурье от (5) и знак (*) означает комплексное сопряжение.

Таким образом, формулы (14) и (16) позволяют определить эффективность второго этапа процедуры восстановления гравитационного импульса по МНК, предложенной в [1, 2], для широкого класса возможных форм всплесков гравитационного излучения.

3. Оценка по методу максимального правдоподобия

Предположим теперь, что на втором этапе процедуры восстановления формы всплеска гравитационного излучения используется оценивание параметров аппроксимирующей функции по ММП. В этом случае оценка $\hat{\mathbf{l}}$ может быть представлена в виде [3, 4]

$$\hat{\mathbf{l}} = \arg \inf_{\mathbf{l} \in E_n} L(\mathbf{l}), \quad (17)$$

где

$$L(\mathbf{l}) = \int_{t'}^T (\bar{U}(t) - s(t, \mathbf{l}))^2 dt - \int_{t'}^T (2\bar{U}(t) - s(t, \mathbf{l})) u(t, \mathbf{l}) dt. \quad (18)$$

В (18) функция $u(t, \mathbf{l})$ находится из решения интегрального уравнения

$$u(t, \mathbf{l}) + \frac{2}{N_0} \int_{t'}^T K_{\xi}(t-\tau) u(\tau, \mathbf{l}) d\tau = - \frac{2}{N_0} \int_{t'}^T K_{\xi}(t-\tau) s(\tau, \mathbf{l}) d\tau. \quad (19)$$

Учитывая, что корреляционной функции (7) соответствует дробно-рациональная спектральная плотность, для решения уравнения (19) используем метод, предложенный в [4]. В этом случае решение интегрального уравнения (19) сводится к решению дифференциального уравнения

$$\frac{d^4}{dt^4} u(t, \mathbf{l}) + 2\omega_0^2 \frac{d^2}{dt^2} u(t, \mathbf{l}) + (q^4 + \omega_0^4) u(t, \mathbf{l}) = -q^4 s(t, \mathbf{l})$$

с начальными условиями

$$u(t', \mathbf{l}) = u(T, \mathbf{l}) = 0; \quad \frac{d^i}{dt^i} u(t', \mathbf{l}) = \frac{d^i}{dt^i} u(T, \mathbf{l}) = 0, \quad i = \overline{1, 3}.$$

Если при обработке наблюдаемых данных на выходе антенны используется ДПФ, то оценка (17) эквивалентна минимизации по \mathbf{l} функционала

$$L_s(\mathbf{l}) = \sum_{i=1}^N \frac{|U(\omega_i) - K_s(\omega_i) f(\omega_i, \mathbf{l})|^2}{1 + |K_N(\omega_i)|^2}. \quad (20)$$

Следовательно, отличие алгоритма оценки по ММП от оценки по МНК состоит лишь в том, что необходимо минимизировать функционал (20), несколько более сложный, чем (10).

Для определения характеристик оценки $\hat{\mathbf{l}}$ (17) представим член функционала (18), зависящий от оцениваемого параметра \mathbf{l} , в виде [3, 8]

$$M(\mathbf{l}) = S(\mathbf{l}) + N(\mathbf{l}). \quad (21)$$

Здесь

$$S(\mathbf{l}) = S(\mathbf{l}_0, \mathbf{l}) - S(\mathbf{l}, \mathbf{l})/2 \quad (22)$$

— сигнальная составляющая;

$$S(\mathbf{l}_1, \mathbf{l}_2) = \int_{t'}^T s(t, \mathbf{l}_1) v(t, \mathbf{l}_2) dt$$

— сигнальная функция;

$$N(\mathbf{l}) = \int_{t'}^T (\xi(t) + E_{fl}(t)) v(t, \mathbf{l}) dt \quad (23)$$

— шумовая составляющая и $v(t, \mathbf{l}) = 2(s(t, \mathbf{l}) + u(t, \mathbf{l}))/N_0$. Отношение сигнал/шум для принятого сигнала на выходе устройства, формирующего (21), определяется как

$$z^2 = S^2(\mathbf{l}_0)/M[N^2(\mathbf{l}_0)] = S(\mathbf{l}_0, \mathbf{l}_0)/4. \quad (24)$$

Шумовая составляющая (23) является реализацией гауссовского случайного процесса с нулевым средним значением и корреляционной функцией $M[N(\mathbf{l}_1)N(\mathbf{l}_2)] = S(\mathbf{l}_1, \mathbf{l}_2)$ [3]. Исходя из (17) и (18), для функционала (21) оценка $\hat{\mathbf{l}}$ по ММП может быть представлена в виде, эквивалентном (17),

$$\hat{\mathbf{l}} = \arg \sup_{\mathbf{l} \in E_n} M(\mathbf{l}).$$

Тогда, используя результаты [3], в первом приближении имеем, что оценка $\hat{\mathbf{l}}$ условно несмещенная и обладает корреляционной матрицей

$$\begin{aligned} \mathbf{K} = \left\| M[(\hat{l}_i - l_{0i})(\hat{l}_k - l_{0k})] \right\| &= \left\| \left[\left[\frac{\partial^2 S(\mathbf{l}_1, \mathbf{l}_2)}{\partial l_{1i} \partial l_{2k}} \right]_{\mathbf{l}_0} \right]^{-1} \right\| = \left\| \frac{1}{\pi N_0} \times \right. \\ &\times \left. \left[\int_{-\infty}^{\infty} \frac{|K_s(\omega)|^2}{1 + |K_N(\omega)|^2} \frac{\partial f(\omega, \mathbf{l})}{\partial l_i} \frac{\partial f^*(\omega, \mathbf{l})}{\partial l_k} d\omega \right]_{\mathbf{l}_0} \right\|^{-1}, \quad k, i = \overline{1, n}. \end{aligned} \quad (25)$$

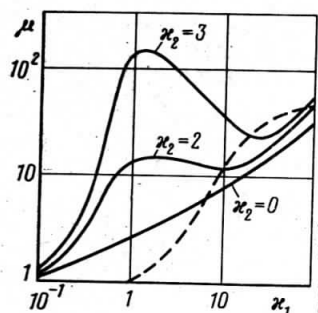


Рис. 1

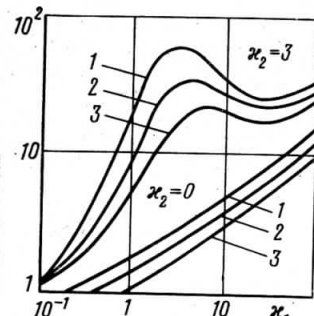


Рис. 2

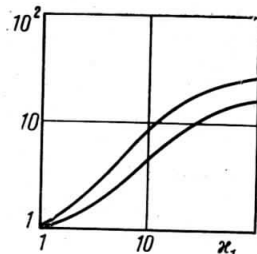


Рис. 3

Формулы для расчета точности оценок параметров всплеска гравитационного излучения (14) и (25) являются приближенными. Они получены на основе параболической аппроксимации соответствующих функционалов в окрестности истинных значений оцениваемых параметров [3]. Поэтому точность указанных формул возрастает с увеличением точности оценивания и уменьшением размеров области E_n возможных значений неизвестных параметров. Имеющиеся экспериментальные и расчетные данные [3, 8] показывают, что при малых размерах области E_n точность приближенных формул (14) и (25) оказывается удовлетворительной для умеренных значений выходных отношений сигнал/шум (16) и (24).

4. Сравнительный анализ эффективности алгоритмов оценки

Конкретизируем полученные общие выражения, определяющие точность оценивания параметров гравитационного всплеска, применительно к двум характерным формам внешней силы, эквивалентной возбуждению антены гравитационной волной.

а) Радиоимпульс с гладкой колокольной огибющей. В этом случае сигнал, описывающий воздействие на antennу всплеска гравитационного излучения, определяется формулой [1]

$$f(t, \mathbf{l}_0) = a_0 \exp(-(t-t_0)^2/\beta_0^2) \cos \Omega_0(t-t_0), \quad (26)$$

где $\mathbf{l}_0 = \{a_0, \beta_0, \Omega_0\}$ – вектор параметров, подлежащих оценке, а временное положение импульса (26) $t_0 \in [t', T]$.

Для расчета характеристик оценки амплитуды a , длительности β и частоты Ω сигнала (26) по МНК нужно найти функции (12) и (15). Используя (26) для этих функций, получим выражения

$$\begin{aligned} S_\Delta(a, \beta, \Omega) \simeq & \frac{\gamma \pi A^2 (b')^2}{8N_0 (a' \omega_0)^2} \left\{ a_0 a \frac{\beta_0 \beta a'}{[(\beta_0^2 + \beta^2)(4 + (a')^2(\beta_0^2 + \beta^2))]^{1/2}} \times \right. \\ & \times \exp \left[-\frac{(\Omega - \Omega_0)^2 \beta_0^2 \beta^2}{4(\beta_0^2 + \beta^2)} \right] \exp \left[-\frac{(\omega_0 - \Omega_\Delta)^2}{2D_0(\beta)} \right] - \\ & \left. - \frac{a^2 a' \beta}{2(2 + (a')^2 \beta^2)^{1/2}} \exp \left[-\frac{(\omega_0 - \Omega)^2}{2D_0(\beta)} \right] \right\}; \end{aligned} \quad (27)$$

$$S_N(a_1, \beta_1, \Omega_1, a_2, \beta_2, \Omega_2) \simeq \frac{A^2 \sqrt{\pi}}{16N_0} \left(\frac{q}{\omega_0 a'} \right)^4 a_1 a_2 \beta_1 \beta_2 \frac{a'}{[8 + (a')^2 (\beta_1^2 + \beta_2^2)]^{1/2}} \times \\ \times \exp \left[-\frac{(\omega_0 - \Omega_N)^2}{2D_1(\beta_1, \beta_2)} \right] \exp \left[-\frac{(\Omega_1 - \Omega_2)^2 \beta_1^2 \beta_2^2}{4(\beta_1^2 + \beta_2^2)} \right]. \quad (28)$$

Здесь введены следующие обозначения:

$$\Omega_\Delta = \frac{\Omega_0 \beta^2 + \Omega \beta_0^2}{\beta_0^2 + \beta^2}; \quad D_0(\beta) = \frac{4 + (a')^2 (\beta_0^2 + \beta^2)}{2(\beta_0^2 + \beta^2)}; \\ D_1(\beta_1, \beta_2) = \frac{8 + (a')^2 (\beta_1^2 + \beta_2^2)}{4(\beta_1^2 + \beta_2^2)}; \quad \Omega_N = \frac{\Omega_1 \beta_2^2 + \Omega_2 \beta_1^2}{\beta_1^2 + \beta_2^2}.$$

Подставляя затем (27) и (28) в (14) и (16), находим дисперсии оценок параметров сигнала (26) и выходное отношение сигнал/шум ρ^2 при оценивании по МНК.

Для расчета характеристик оценок по ММП достаточно найти функцию (22) применительно к всплеску (26)

$$S(a_1, \beta_1, \Omega_1, a_2, \beta_2, \Omega_2) \simeq \frac{a_1 a_2}{q^4} \frac{A^2 (b')^2 \sqrt{\pi}}{N_0} \frac{\beta_1 \beta_2}{(\beta_1^2 + \beta_2^2)^{1/2}} \times \\ \times \exp \left[-\frac{(\Omega_1 - \Omega_2)^2 \beta_1^2 \beta_2^2}{\beta_1^2 + \beta_2^2} \right] \left[1 - 4 \frac{\omega_0^2}{q^4} \left(\frac{2}{\beta_1^2 + \beta_2^2} + (\omega_0 - \Omega_N)^2 \right) \right]. \quad (29)$$

Подставляя (29) в (24) и (25), получаем дисперсии оценок параметров сигнала (26) и выходное отношение сигнал/шум z^2 при оценивании по ММП.

На рис. 1 сплошными кривыми представлен выигрыш $\mu = z^2/\rho^2$ в величине выходного отношения сигнал/шум при использовании оценивания по ММП вместо оценивания по МНК. Сплошные кривые рис. 1 показывают зависимость $\mu = \mu(\kappa_1)$ при различных значениях параметра κ_1 , где $\kappa_1 = \Delta\omega_s/\Delta\omega_a$ и $\kappa_2 = \Delta\omega/\Delta\omega_a$, $\Delta\omega_s = \sqrt{2}\pi/\beta_0$ — ширина полосы частот сигнала (26), $\Delta\omega_a = a' \sqrt{\pi}/2$ — ширина полосы пропускания антенны, $\Delta\omega = |\omega_0 - \Omega_N|$ — расстройка несущей частоты сигнала (26) относительно центральной частоты полосы пропускания гравитационной антенны. Из анализа кривых рис. 1 следует, что применение оценивания по ММП вместо оценивания по МНК может привести к существенному увеличению выходного отношения сигнал/шум.

На рис. 2 представлен выигрыш в точности оценки параметров всплеска гравитационного излучения (26), который определяется как отношение дисперсии оценки при использовании МНК к дисперсии оценки по ММП. Кривые 1 показывают выигрыш в точности оценки амплитуды a , кривые 2 — выигрыш в точности оценки длительности β , а кривые 3 — в точности оценки несущей частоты Ω . Как следует из рис. 2, выигрыш в точности оценки параметров всплеска (26) при оценке по ММП по сравнению с оценкой по МНК, рассмотренной в [1, 2], может быть значительным.

б) Видеоимпульс. Рассмотрим теперь модель сигнала, эквивалентного воздействию гравитационной волны, в виде короткого видеоимпульса [1]

$$f(t, \mathbf{l}_0) = \begin{cases} a_0 \exp(-(t-t_0)/\beta_0) \sin(2\pi(t-t_0)/\beta_0), & t \geq t_0; \\ 0, & t < t_0, \end{cases} \quad (30)$$

где $\mathbf{l}_0 = \{a_0, \beta_0\}$ — вектор, компонентами которого являются истинные значения оцениваемых параметров — амплитуды a_0 и длительности β_0 .

Применительно к (30) функции (12) и (15) принимают соответственно вид

$$\begin{aligned} S_\Delta(a, \beta) \simeq & \frac{a_0 a \beta_0 \beta A^2}{2N_0 a'} [Q_1(\beta_0, a') Q_1(\beta, a') + Q_2(\beta_0, a') Q_2(\beta, a')] - \\ & - \frac{a^2 \beta^2 A^2}{4N_0 a'} [Q_1^2(\beta, a') + Q_2^2(\beta, a')]; \end{aligned} \quad (31)$$

$$\begin{aligned} S_N(a_1, \beta_1, a_2, \beta_2) \simeq & \frac{A^2}{8N_0} \left(\frac{q}{2a' \omega_0} \right)^4 a_1 a_2 \beta_1 \beta_2 \left[Q_1 \left(\beta_1, \frac{a'}{\sqrt{2}} \right) Q_1 \left(\beta_2, \frac{a'}{\sqrt{2}} \right) + \right. \\ & \left. + Q_2 \left(\beta_1, \frac{a'}{\sqrt{2}} \right) Q_2 \left(\beta_2, \frac{a'}{\sqrt{2}} \right) \right], \end{aligned} \quad (32)$$

где обозначено

$$\begin{aligned} Q_1(\beta, a') = & \frac{2\pi(1-4\pi^2) - 4\pi(a'\beta)^2 - 2\pi(\omega_0\beta)^2 + 4\pi\beta b'(a'\beta - 1)}{1 + 16\pi^2(a'\beta - 1)^2 - (\omega_0\beta)^2 - 4\pi^2}, \\ Q_2(\beta, a') = & \frac{8\pi(a'\beta - 1) - (1-4\pi^2)b'\beta + 2a'b'\beta^2 + \beta^3 b' \omega_0^2}{1 + 16\pi^2(a'\beta - 1)^2 - (\omega_0\beta)^2 - 4\pi^2}. \end{aligned}$$

Подставляя (31) и (32) в (14) и (16), находим дисперсии оценок параметров сигнала (30) и выходное отношение сигнал/шум ρ^2 при оценивании по МНК.

Для расчета точности оценок по ММП, используя (30), функцию (22) можем записать

$$\begin{aligned} S(a_1, \beta_1, a_2, \beta_2) \simeq & \frac{2A^2(b')^2}{q^4} \frac{a_1 a_2}{N_0} \left[\frac{(\beta_1 + \beta_2)\beta_1 \beta_2}{\beta_1^2 + \beta_2^2 + 4\pi^2(\beta_1 - \beta_2)^2} - \right. \\ & \left. - \frac{\beta_1 \beta_2}{(\beta_1 + \beta_2)(1+4\pi^2)} \right] \left[1 - \frac{(a'\beta_1)^2 + (a'\beta_2)^2 - 1}{q^4 \beta_1^2 \beta_2^2} \right]. \end{aligned} \quad (33)$$

Подставляя (33) в (24) и (25), получаем дисперсии оценок параметров сигнала (30) и выходное отношение сигнал/шум z^2 при оценивании по ММП.

На рис. 1 штриховой линией представлена зависимость выигрыша в величине выходного отношения сигнал/шум при использовании для обработки всплеска (30) ММП вместо МНК, от параметра $\kappa_1 = \Delta\omega_s / \Delta\omega_a$, где для сигнала (30) $\Delta\omega_s = \sqrt{\pi/2}/\beta_0$. На рис. 3 представлен выигрыш в точности оценки параметров всплеска гравитационного излучения (30). Кривая 1 показывает выигрыш в точности оценки амплитуды a , кривая 2 — выигрыш в точности оценки длительности β . Согласно рис. 3, выигрыш в точности оценки параметров всплеска (30) при оценивании по ММП по сравнению с оценкой по МНК может быть значительным.

Как следует из кривых рис. 1–3, для обоих характерных моделей сигнала, эквивалентного воздействию гравитационной волны на веберовскую антенну, применение ММП вместо МНК позволяет в общем случае повысить эффективность второго этапа процедуры восстановления, предложенной в [1, 2].

Выигрыш в эффективности обработки растет по мере уменьшения длительности двух видов рассмотренных сигналов и по мере увеличения расстройки несущей частоты радиосигнала (26) относительно центральной частоты полосы пропускания гравитационной антенны.

Повышение эффективности обработки по ММП в этих условиях объясняется наличием весового множителя $(1+|K_N(\omega)|^2)^{-1}$ в минимизируемом функционале (20). Действительно, этот весовой множитель обеспечивает, в отличие от МНК, когда минимизируется (10), подавление спектра реализации смеси сигнала и шума в полосе частот, где мощность коррелированной компоненты шума (3) велика. Лишь когда полоса частот сигнала меньше полосы пропускания гравитационной антенны (и, следовательно, полосы частот коррелированной компоненты шума $\xi(t)$ (3)) и расстройка по частоте отсутствует, т. е. $\omega_2=0$, $\omega_1 \ll 1$, эффективности обработки по ММП и МНК практически одинаковы. Отметим, что снижение эффективности обработки по МНК с уменьшением длительности всплеска гравитационного излучения подтверждается результатами исследования процедуры восстановления в [1].

5. Заключение

Полученные общие выражения для характеристик оценок параметров гравитационных импульсных сигналов по МНК и ММП показывают возможность повышения эффективности второго этапа адаптивной процедуры восстановления, предложенной в [1, 2]. При этом реализация алгоритма оценки по ММП не требует дополнительной априорной информации по сравнению с алгоритмом оценки по МНК. Более того, применение ММП позволяет несколько ослабить требования к точности попадания всплеска гравитационного излучения в полосу пропускания антенны по сравнению с МНК. Тем самым расширяется класс импульсных сигналов, которые могут быть восстановлены без изменения конструкции и параметров гравитационной антенны. Однако, как и в [1], при анализе оценок предполагалась временная локализация гравитационного всплеска и достаточная гладкость его формы. Дальнейшие исследования должны ослабить эти существенные ограничения в первую очередь снять требования временной локализации, т. е. априорного знания момента появления гравитационного всплеска.

СПИСОК ЛИТЕРАТУРЫ

1. Бабиченко С. И., Руденко В. Н., Ягола А. Г. // Астрон. журн. 1984. Т. 61. С. 913.
2. Бабиченко С. И., Руденко В. Н., Ягола А. Г. // Вестн. МГУ. Сер. 3. Физика, астрономия. 1983. Т. 24. С. 14.
3. Кулников Е. И., Трифонов А. П. Оценка параметров сигналов на фоне помех. М.: Сов. радио, 1978.
4. Ван Трис Г. Теория обнаружения, оценок и модуляции. Т. 1. М.: Сов. радио, 1972.
5. Брагинский В. Б., Манукин А. Б. Измерение слабых сил в физическом эксперименте. М.: Наука, 1974.
6. Бичак И., Руденко В. Н. Гравитационные волны в ОТО и проблема их обнаружения. М.: Изд-во МГУ, 1987.
7. Тихонов В. И. Статистическая радиотехника. М.: Радио и связь, 1982.
8. Трифонов А. П., Шинаков Ю. С. Совместное различение сигналов и оценка их параметров на фоне помех. М.: Радио и связь, 1986.

Воронежский государственный

Поступила в редакцию
21.VI.1989